

大阪大学工学部 正会員 松井繁之
大阪大学工学部 正会員 前田幸雄

1. まえがき 道路橋筋コンクリート床版のひびわれ破損事故に対処するため、昭和46年3月の道
路示方書において、床版に関する条項は大半に改訂された。しかし、未だ不十分な点があるように思われる。
そのうち重要な点は、①コンクリートの曲げひびわれ発生によるR/C床版の直交異方性を考慮しないこと、
②床版支持ゲタの不等沈下を考慮に入れていないこと、③輪荷重直接作用の床版中央までの45°方向での危険
側拡大等であろう。著者らは特に②について強調してきた。
鉄筋コンクリート床版では当然曲げひびわれは発生し、防ぎ得ないものであると著者らは考へる。そして、任意に移動する自動車の輪荷重によって、ひびわれは床版全域に拡散し、その結果、版の曲げ剛性は引張側コンクリートを無視したものに収束すると予想してきた。
すなまち、主鉄筋方向と配力鉄筋方向で剛性の異なる直交異方性板へと移行する予想してきた。旧示方書
で設計された床版の多くが、ひびわれ破損の危険にさらされているのは、配力鉄筋比がめずかしく非常に直交
異方性の大きいものであったからである。断面剛性が引張側コンクリートを無視したものに低下すること、およ
び、その結果、直交異方性が大きかったことを考慮すると、各鉄筋は等方性理論値で計算し得る应力よりも過大
な应力を受けることが容易に理解できる。この過大な应力が発生により、劣化が進
んだと考られる。よって、現行示方書の依然として、R/C床版は著方性である
との仮定は一考を要するものと提言する次第である。しかし、これまで、上記に述べたひびわれと直交異方性の関係を立証する実験資料がなかった。今回、新しい方法による繰返し載荷試験によって若干の裏付け資料を得た
のでここに報告する。

2. 試験方法と供試体 実橋での床版下面におけるひびわ
れパターンは床版全域に拡散した葉毛状あるいは亜甲狀と言えるものであ
る。よって、まずこのひびわれパターンを再現して初めて、R/C床版の
直交異方性が論じられると言えた。従来の疲劳と考へて繰返し載荷試
験は、幅広い床版に自動車後輪を想定した載荷面を一定点に置き、その
面に繰返し荷重を加えるものであった。このような手法でも、当然、疲
労の現象は見られながら、床版下面のひびわれは載荷点中央から伸びる放射
状にしか発生せず、損傷は局部的のものであり、タリミ応答からそれ
に床版の異方性発現は説明できない。

そこで、著者らは実橋床版におけるひびわれパターンの発生は自動車の
移動性にあると確信し、模型試験においてもこの機構を導入することを
試みた。しかし、現段階では荷重面を任意に、しかも動的に移動させ
ることが出来ず、試みとして、載荷点を約回数毎に移動させよう
とした。前田ら²⁾も本試験法と同種の手法により成果を認めている。

今回の供試体は表-1に示す5体を用意した。内4体は現行示方書に
従って設計したN-型(ただし、3/4模型)で、旧示方書に従って配
力鉄筋量を主鉄筋の25%にしてO-型1体を製作した。全床版とも
床版スパンが150cm、床版長300cm、床版厚12cmの2辺自由。

表1 供試体		
供試体	試験方法	荷重とその位置
NS-1	静的	一定点載荷
NS-2	静的	
NF-1	繰返し載荷	P=1~5.3t
NF-2	繰返し載荷	40万回毎に載荷
OF-1	繰返し載荷	位置を移す

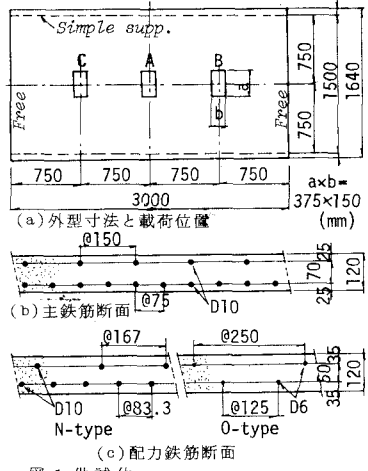


図-1 供試体

表2 コンクリートの材料特性

Specimen	σ_{28} (kg/cm ²)	σ_t (kg/cm ²)	E_c (kg/cm ²)
NS-1, NS-2, NF-1	302	36	1.77×10^5
NE-2, OF-1	327	33	2.22×10^5

表3 鉄筋の材料特性

Reinforcement	σ_y (kg/cm ²)	σ_B (kg/cm ²)	E_s (kg/cm ²)
D10 (SD35W)	3500	5834	1.93×10^6
D6 (SD30W)	3460	6543	1.98×10^6

Z辺単純支持の長方形である。着目点を床版中央にとると、床版長が3mであれば、タワミ・モーメントとともに無限板のものに収束していい。移動荷重載荷を与える点は図-1に示す3点で、その載荷順序はA, B, A, C, Aの順とし、各載荷点で40万回ずつの動的荷重載荷とした。このB, C点はA点より床版スパンの端だけ離れていい。この点より約15cm中央寄りで配筋方向の曲がモーメントは正から負へ変化している。

3. 試験結果と考察 N-型供試体の静的崩壊荷重は約31tで、本床版の設計荷重 $P=5.3t$ の約7.5倍になり、静的荷重に対する安全率は非常に高いと言える。このときの床版下面の最終ひびわれは図-2(a)に示す放射状のものであった。

これらの床版に移動荷重載荷を行うと(c), (d)に示すような非常に広い分布で、しかも葉も状あるいは亜甲状とも言えるパターンが発生した。(このひびわれの最小ピッチは主鉄筋间距と同様の7.5cmであった)。このパターンは(b)に示すNF-2の40万回までのもの(A点までのひびわれ……40万回で収束しきり、従来の試験とのパターン)と全く異なり、図-6に模写した実橋床版の分布状況とよく近似していいと言える。この結果から、既存実橋床版のひびわれ発生の主原因は自動車の移動荷重載荷にあることが立証できたようである。

図-3, 4, 5にタワミ結果の一例を示す。図-3, 4はコンクリートのひびわれによる残留タワミを31tの活荷重タワミである。繰返し回数1回目は全断面有効として挙動するが、回数増加に従って活荷重タワミも増加していく。本実験では200万回(着目点で120万回)で載荷を止めたりめ、明確には言えないが、徐々に31張側コンクリートを無視した断面剛性での直交異方性理論値に近づいていく。

図-5のタワミ曲線を見ると、まだ増加する傾向にあり、31tに異方性理論値に近づくことが予想できる。倉田らの実験から切り出したひびわれた床版(図-6)の静的試験結果について、着3の直交異方性理論値と比較したのが図-7である。この図より、ひびわれが発生した床版は、やはり直交異方性によっていいことが明確であろう。以上、本実験結果と倉田らの実験資料をまとめてみると、既存床版の安全設計としてひびわれ発生を想定した直交異方性を考慮すべきであると言える。最後に、本研究に文部省科学研究所補助金を受けたことを付記する。

参考文献 1)前田, 松井, 小島:道路橋RC床版のモーメントに応じた3の考察, 第29回年次講演会, I-75, 1976.9.10.
2)倉田, 國田, 実松, 竹村:既設道路RC床版の疲労破壊実験と疲労破壊機構に肉付け考察, 第22回構造工学会シンポジウム, 1976.1.

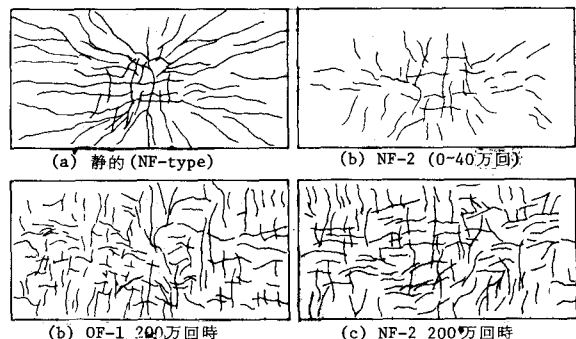


図2 床版下面のひびわれ分布

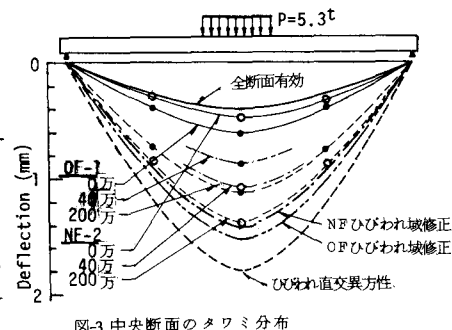


図3 中央断面のタワミ分布

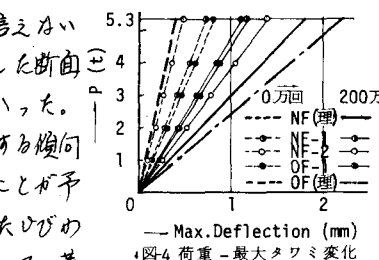


図4 荷重 - 最大タワミ変化

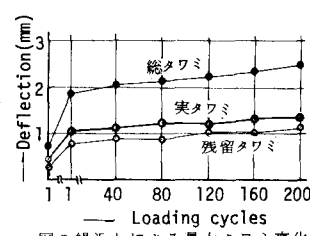


図5 繰返しによる最大タワミ変化

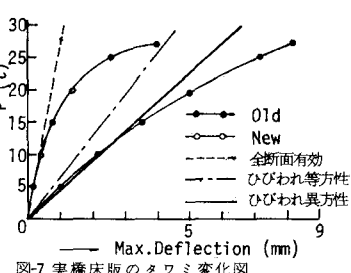
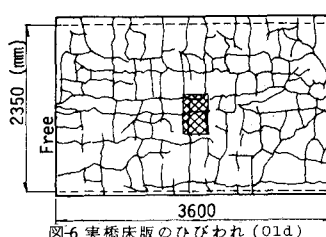


図7 実橋床版のタワミ変化